

2018-2019春季 信息隐藏课程 第12讲 自适应隐写



中国科学院 信息工程研究所
INSTITUTE OF INFORMATION ENGINEERING CAS



SKLOIS
信息安全国家重点实验室

赵险峰

**中国科学院信息工程研究所
信息安全国家重点实验室**

2018年12月



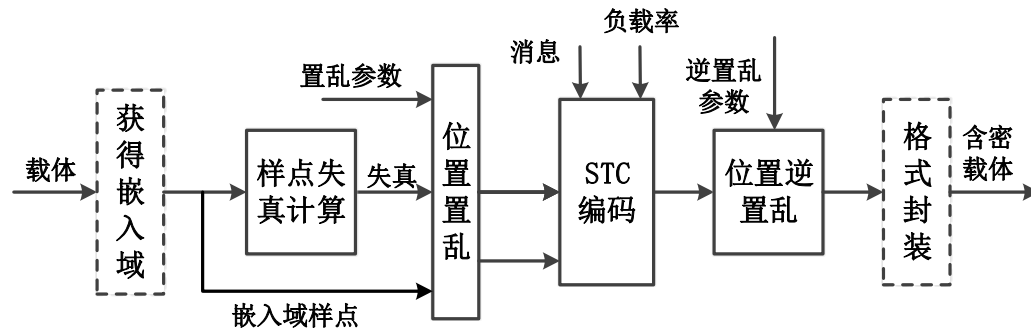
- 1. 基本设计方法**
- 2. 空间域自适应隐写**
 - 1. HUGO**
 - 2. WOW**
 - 3. S-UNIWARD**
- 3. JPEG域自适应隐写**
 - 1. J-UNIWARD**
 - 2. UED**
- 4. 文献阅读推荐**





1-1 基本设计方法（概念）

- 自适应隐写的主要目的是在负载率一定条件下最小化**总失真**
- 一般来说，由于隐写修改样点之间的相互干扰，总失真只能基于一定的假设估算，前面提到的加性模型是最常用的总失真估算模型，**STC编码是实现该模型下总失真最小的基本途径**
- 当前能够进行总体优化的自适应隐写均采用STC编码。**自适应隐写的设计主要包含失真函数的设计与应用STC编码两个环节**，其中，失真函数的设计与隐写的嵌入域非常相关
- 由于隐写分析在纹理复杂区的分类效果较差，因此，当前的失真函数设计普遍采用高纹理区失真值较低的原则；一些失真函数的设计也考虑了对统计分布特性的影响，对引起分布变化更明显的区域，失真函数一般被设计为输出较高的值



1-2 基本设计方法（加性总失真与单点失真）



- 在限定负载率下，加性模型下的自适应隐写基于STC编码最小化各个样点上的失真和

$$D(X, Y) = \sum_{i=1}^{n_1} \sum_{j=1}^{n_2} \rho_{ij} |X_{i,j} - Y_{i,j}|$$

- 以上 $D(X, Y)$ 是对实际总失真的估计，载体 X 与含密载体 Y 的尺寸是 $n_1 \times n_2$ ， ρ_{ij} 是单点失真函数，它估计仅单点被修改的失真。STC编码中，需要知道 ρ_{ij} ，**这需要隐写设计者对 ρ_{ij} 进行定义，或者**，若能先定义**总体失真函数 $D(X, Y)$** ，则可以得到

$$\rho_{i,j} = D(X, X_{\sim(i,j)} Y_{i,j})$$

- 其中， $X_{\sim(i,j)} Y_{i,j}$ 表示仅仅将 X 中 $X_{i,j}$ 改为 $Y_{i,j}$ 的版本
- 以下主要通过介绍 $\rho_{i,j}$ 的定义方法介绍限定负载率下基于加性模型的自适应隐写

2 空间域自适应隐写



- ❑ 空域自适应隐写的失真函数**一般在空间域设计**，典型的是 HUGO (Highly Undetectable steGO) 隐写
- ❑ 由于小波变换是时频变换，同时包含载体局部的空间信息与频率信息，因此，**也可以在小波域设计失真函数**，典型的是 WOW (Wavelet Obtained Weights) 与 S-UNIWARD (Spatial-Universal Wavelet Relative Distortion) 隐写
- ❑ 以上两种情况下设计的**失真函数均在较高纹理区输出较小值**，但是在具体计算上有不同，造成安全性的差异



2.1-1 HUGO（技术目标）



- ☒ HUGO是最早采用STC的自适应隐写，显著提高了空间域图像隐写的安全。由于SPAM二阶特征能够很好地反映空间域隐写带来的扰动，具有一定的通用性，因此，HUGO的直接设计目的是使得空间域隐写能够抵御基于SPAM特征的隐写分析。为此，**HUGO隐写基于SPAM二阶特征构造失真函数**



2.1-2 HUGO (SPAM回顾)



记 $\{\leftarrow, \rightarrow, \downarrow, \uparrow, \swarrow, \searrow, \checkmark, \nearrow\}$ 为像素的8个方向, 用于标记相邻像素在这些方向上的差值, 如 $D_{i,j}^{\rightarrow} = I_{i,j} - I_{i,j+1}$ 表示水平方向相邻像素差, **统计8个方向的相邻像素差值一阶与二阶转移概率**, 如在从左向右水平方向统计一阶转移概率 $M_{d_1,d_2}^{\rightarrow} = \Pr(D_{i,j+1}^{\rightarrow} = d_2 | D_{i,j}^{\rightarrow} = d_1)$ 与二阶转移概率 $M_{d_1,d_2,d_3}^{\rightarrow} = \Pr(D_{i,j+2}^{\rightarrow} = d_3 | D_{i,j+1}^{\rightarrow} = d_2, D_{i,j}^{\rightarrow} = d_1)$, $d_i \in [-T, \dots, T]$, $i = 1, 2, 3$;

最后, 对一阶与二阶特征分别按照水平与对角线方向合并, 其中, 对二阶特征合并如下:

$$F_{d_1,d_2,d_3}^+ = \frac{1}{4} (M_{d_1,d_2,d_3}^{\rightarrow} + M_{d_1,d_2,d_3}^{\leftarrow} + M_{d_1,d_2,d_3}^{\downarrow} + M_{d_1,d_2,d_3}^{\uparrow})$$

$$F_{d_1,d_2,d_3}^{\times} = \frac{1}{4} (M_{d_1,d_2,d_3}^{\searrow} + M_{d_1,d_2,d_3}^{\swarrow} + M_{d_1,d_2,d_3}^{\checkmark} + M_{d_1,d_2,d_3}^{\nearrow})$$

在提取SPAM二阶特征中, 一般取 $T = 3$, 因此, 二阶特征的维度是 $2(2T + 1)^3 = 686$ 。实验表明, **SPAM二阶特征具有更好的分析效果**

2.1-3 HUGO的总失真函数



☒ 定义水平方向邻域像素差共生矩阵 (Co-occurrence Matrices) :

$$C_{d_1, d_2}^{\rightarrow} = \Pr (D_{i, j}^{\rightarrow} = d_1, D_{i, j+1}^{\rightarrow} = d_2)$$

$$C_{d_1, d_2, d_3}^{\rightarrow} = \Pr (D_{i, j}^{\rightarrow} = d_1, D_{i, j+1}^{\rightarrow} = d_2, D_{i, j+2}^{\rightarrow} = d_3)$$

☒ 类似地可以定义其他方向的共生矩阵, 当 $T = 3$ 时有

$$\{C_{d_1, d_2}^{\Gamma}, C_{d_1, d_2, d_3}^{\Gamma} | \Gamma \in \{\rightarrow, \uparrow, \swarrow, \nearrow\}, -3 \leq d_i \leq 3\}$$

☒ 其中包含 $4 \times (7^2 + 7^3) = 1568$ 维特征。由于 $M_{d_1, d_2, d_3}^{\Gamma} = C_{d_1, d_2, d_3}^{\Gamma} / C_{d_1, d_2}^{\Gamma}$, 并且 $C_{d_1, d_2}^{\rightarrow} = C_{-d_1, -d_2}^{\leftarrow}$, $C_{d_1, d_2, d_3}^{\rightarrow} = C_{-d_1, -d_2, -d_3}^{\leftarrow}$ (即方向可合并为), 显然对以上共生矩阵特征的保持有利于抵抗基于 $M_{d_1, d_2, d_3}^{\Gamma}$ 特征的SPAM隐写分析, 因此HUGO的总体失真函数为:

$$D(X, Y) = \sum_{d_1, d_2, d_3 = -T}^T \left[w(d_1, d_2, d_3) \left| \sum_{\Gamma \in \{\rightarrow, \leftarrow, \uparrow, \downarrow\}} C_{d_1, d_2, d_3}^{X, \Gamma} - C_{d_1, d_2, d_3}^{Y, \Gamma} \right| + w(d_1, d_2, d_3) \left| \sum_{\Gamma \in \{\swarrow, \nwarrow, \searrow, \nearrow\}} C_{d_1, d_2, d_3}^{X, \Gamma} - C_{d_1, d_2, d_3}^{Y, \Gamma} \right| \right]$$

2.1-4 HUGO的单点失真函数



- 以上总失真函数表示从载体 X 修改为含密载体 Y 的失真，其中， $w(d_1, d_2, d_3)$ 是权值函数，定义为

$$w(d_1, d_2, d_3) = \frac{1}{\left(\sqrt{d_1^2 + d_2^2 + d_3^2} + \sigma\right)^\gamma}$$

- $\sigma, \gamma > 0$ 需要确定的系数，实验中通过比对特征的变化搜索得到 $\sigma = 10, \gamma = 4$
- 在以上定义下，1) 对3阶共生矩阵特征扰动总和越大失真越大，2) 当 d_1, d_2, d_3 较小时（相对平滑区），相应共生矩阵特征扰动的相加权值较大
- 在STC编码中，需要计算单点失真函数 $\rho_{i,j}$ ，这里显然有 $\rho_{i,j} = D(X, X_{\sim(i,j)} Y_{i,j})$



2.1-5 HUGO嵌入算法



- 基于以上失真函数，HUGO算法基于STC编码实现空域自适应 ± 1 隐写，为了实现部分非加性效果技术，还提供了模型矫正 (Model Correction) 选项
- 模型矫正功能：先进行STC计算但暂不修改，而是确定需要修改位置；在嵌入过程中逐步针对每个待修改样点再次计算当前的 $+1$ 失真与 -1 失真，选择其中失真小者对应的修改方式



2.1-6 HUGO嵌入算法



输入：载体X，消息message；输出：含密载体Y

```
1. For (i,j) in PIXELS { //每个像素计算一次
2.     Yp = X; Yp(i,j)++; rho_p(i,j) = D(X, Yp); //计算像素+1的单点失真
3.     Ym = X; Ym(i,j)--; rho_m(i,j) = D(X, Ym); //计算像素-1的单点失真
4. }
5. rho_min = min(rho_p, rho_m); //采用+1与-1中小的单点失真进行STC编码
   //以下隐含进行了STC编码，但是仅仅返回需要修改的像素位置
6. PIXELS_TO_CHANGE = minimize_emb_impact(LSB(X), rho_min, message);
7. Y = X; //含密载体的初态
8. For (i,j) in PIXELS_TO_CHANGE { //以上确定了修改位置，现在确定+1还是-1
9.     If (model_correction_step_enabled) { //模型矫正开关开，则新计算+-失真
           //计算当前修改程度下的当前位置上+1与-1单点失真
10.        Yp = Y; Yp(i,j)++; dp = D(X, Yp); Ym = Y; Ym(i,j)--; dm = D(X, Ym);
11.        If (dp < dm) { Y(i,j)++;} else { Y(i,j)--;}
12.    }
13.    else { //无模型矫正开关则用之前的+-失真
14.        If (rho_p(i,j) < rho_m(i,j)) { Y(i,j)++;} else { Y(i,j)--;}
15.    }
16. }
```

2.1-7 HUGO的安全性实验

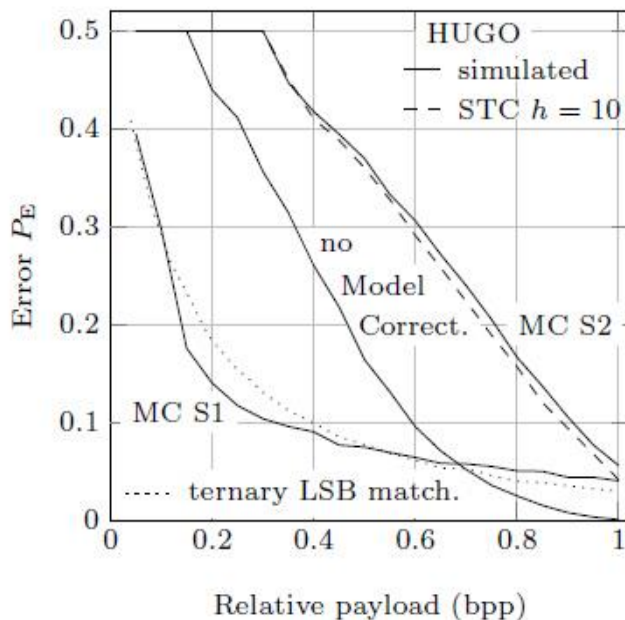


- 在模型矫正中，存在空间域矫正方向的选择。它实际就是修改的方向，HUGO分为以下几种：（S1）从左到右、从上到下；（S2）从最大的 $\rho_{i,j}$ 到最小的顺序；（S3）从最小的 $\rho_{i,j}$ 到最大的顺序；（S4）随机顺序。实验发现，顺序S2的安全性最好（图）
- HUGO的抗检测性能：（a）SPAM攻击下LSBM、HUGO与理想加性嵌入的性能， $T = 3$ ，simulated表示对理想加性模型下最优嵌入的模拟；（b）HUGO S2与LSBM在4种攻击下的性能比较

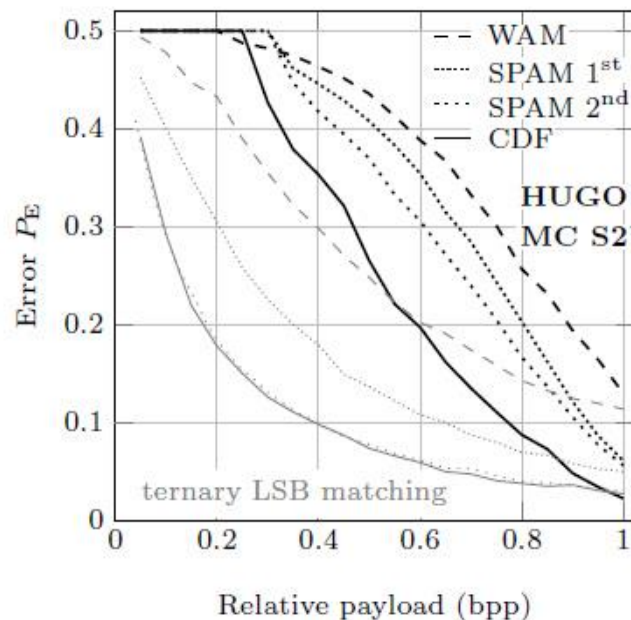
CDF (Cross-Domain Feature)：融合了SPAM与Pev-274

WAM: Wavelet Absolute Moments

(a) 2nd order SPAM



(b) feature set comparison



2.2-1 WOW（小波滤波器组）



- 小波系数反映了信号局部区域的时频特性，失真函数的设计可以以隐写后这种特性得到更多保持为原则。WOW是空间域图像自适应隐写，它在小波变换的一级分解LH、HL与HH子带上对系数改动量与原系数做相关运算，总体相关性越大则失真越低
- WOW选择了Daubechies 8小波低通、高通滤波器 h ， g 进行小波滤波，则获得一级分解LH、HL与HH三个子带系数的二维滤波器系数矩阵是： $K^{(1)} = h \cdot g^T$ ， $K^{(2)} = g \cdot h^T$ ， $K^{(3)} = g \cdot g^T$ 。它们滤波后得到的三个子带系数也称为三组残差 (Residual)，分别为 $R^{(k)} = K^{(k)} * X$ ， $k = 1, 2, 3$ ，“*”表示二维卷积
- 在WOW中，先对载体进行镜像填充 (Mirror-padded)，之后在计算卷积，因此， $R^{(k)}$ 的尺寸与原图 X 相同



2.2-2 WOW 失真函数



- 设 $R_{ij}^{(k)}$ 为仅仅修改了位置 (i, j) 上一个像素后计算得到的第 k 组残差, $k = 1, 2, 3$, 则WOW定义的一般单点失真函数定义为

$$\rho_{i,j} = \left(\sum_{k=1}^n |\xi_{ij}^{(k)}|^p \right)^{-\frac{1}{p}}$$

- 其中, n 为二维滤波器数量, $p < 0$ 是待定常数, 并且

$$\xi_{ij}^{(k)} = |R^{(k)}| \otimes |R^{(k)} - R_{ij}^{(k)}|; \text{ //更希望修改纹理复杂高频区}$$

- \otimes 表示计算相关性。在实际中, WOW取 $n = 3$ 以及 $p = -1$, 有

$$\rho_{i,j} = \sum_{k=1}^3 |\xi_{ij}^{(k)}|^{-1}$$

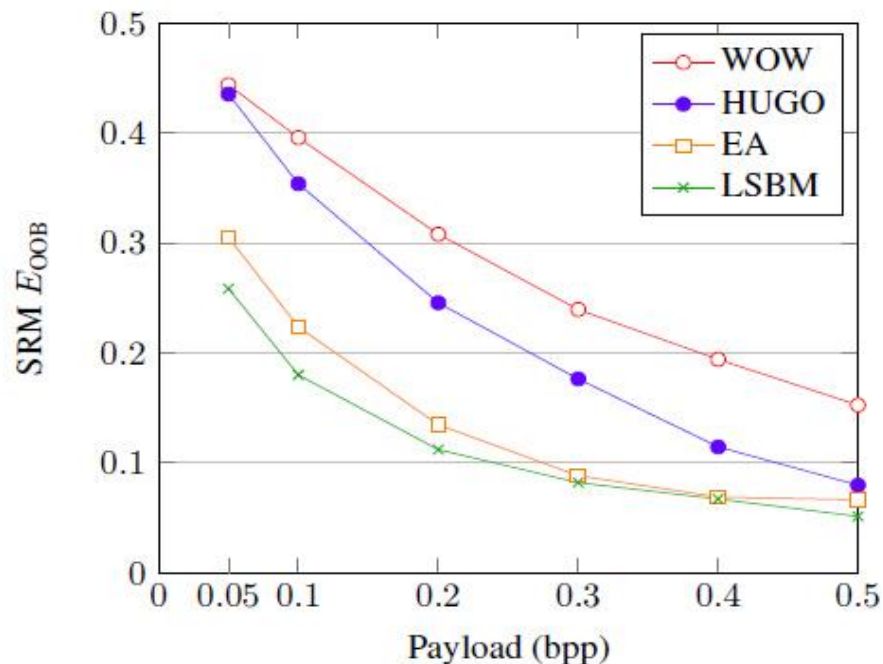
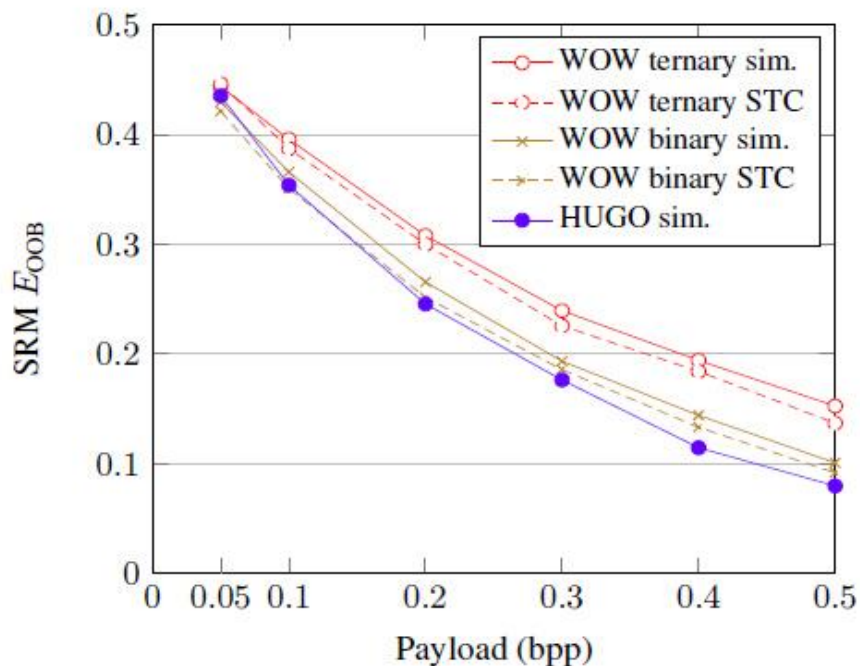
- 因此, 当修改位置 (i, j) 上像素后, 如果残差上的噪声与原残差更相关, 则WOW的单点失真函数较小, (i, j) 位置更可能被修改

- WOW采用随机 ± 1 的方式进行修改, 采用STC。由于 $+1$ 与 -1 的失真是一样的, 因此, 支持采用双层STC进行嵌入

2.2-3 WOW 安全性比较



- 从实验结果看，单层WOW的安全性高于HUGO，显著高于非STC自适应的方法（sim表示在加性模型下对基于WOW失真函数的理想嵌入模拟）
- SRM采用了集成分类器投票的判决方法，图中的 E_{OOB} 表示Error of Out of Bag，它是通常评价集成分类器错误率的指标，主要特点是，将训练样本（对每个子分类器采用放回抽样的方法在标注样本集合中选取）与未选入训练的样本一并作为测试样本，统计得到的错误率



2.3-1 S-UNIWARD (失真函数)



- ☒ S-UNIWARD也是一种图像空间域自适应隐写，它的失真函数基于小波系数定义。设 $R^{(k)}(X) = K^{(k)} * X$, $R^{(k)}(Y) = K^{(k)} * Y$, $k = 1, 2, 3$ 分别是原图与含密图的第 k 组残差, $W_{uv}^{(k)}(X)$, $W_{uv}^{(k)}(Y)$, $u \in [1, \dots, n_1]$, $v \in [1, \dots, n_2]$ 分别表示 $R^{(k)}(X)$ 、 $R^{(k)}(Y)$ 中位置 (u, v) 上的小波系数, 则S-UNIWARD算法定义的总体失真函数为:

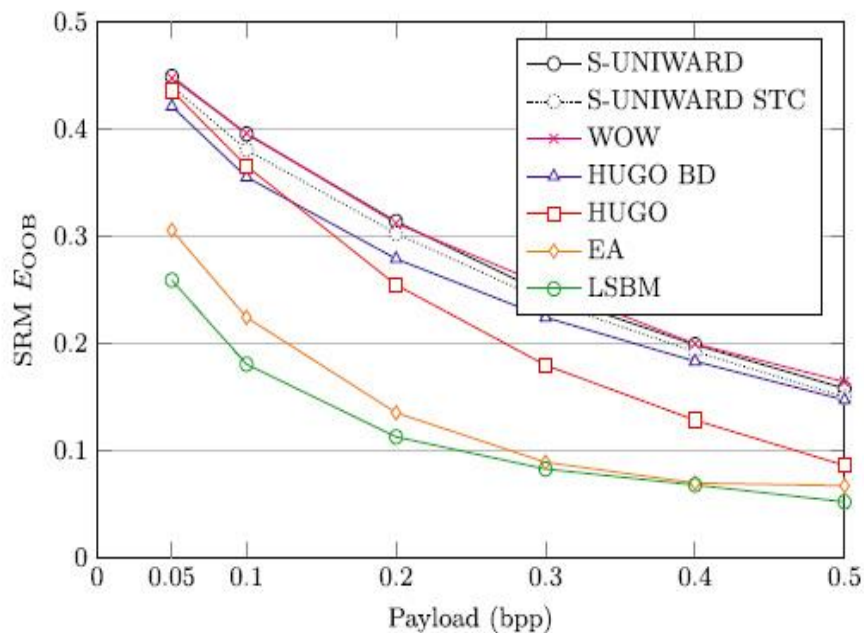
$$D(X, Y) = \sum_{k=1}^3 \sum_{u=1}^{n_1} \sum_{v=1}^{n_2} \frac{|W_{uv}^{(k)}(X) - W_{uv}^{(k)}(Y)|}{\sigma + |W_{uv}^{(k)}(X)|}$$

- ☒ $\sigma > 0$ 为调节参数, 在S-UNIWARD的实验中取为1。这样, 单点失真函数为 $\rho_{i,j} = D(X, X_{\sim(i,j)} Y_{i,j})$, 由于以上小波系数系数主要分布在中高频, 在纹理区数值较大, 使得上式的分母较大, 整个失真下降
- ☒ S-UNIWARD对像素的修改方法类似于WOW。由于 $Y_{i,j}$ 加1还是减1得到的 $\rho_{i,j}$ 相同, 因此, S-UNIWARD的修改方式可以是在STC编码中随机的 ± 1 , 也支持双层的嵌入

2.3-2 S-UNIWARD (安全性)



隐写分析实验结果表明，相比HUGO与WOW，S-UNIWARD进一步提高了安全性（图）。在嵌入位置的选择上，HUGO比较趋向于选择轮廓附近，而WOW、S-UNIWARD更趋向于选择纹理复杂区，后者的选择在纹理区范围更均匀



S-UNIWARD STC在SRM隐写分析下的性能（其中S-UNIWARD指理想模拟）； (b) HUGO、WOW、S-UNIWARD的嵌入区域选择对比

3 JPEG域自适应隐写



- ❑ JPEG域自适应隐写需要估计修改每个可嵌入JPEG系数的单点失真
- ❑ 一般可以变换到空间域或者小波域进行设计，原则也是将扰动尽量限制在纹理区，典型的是J-UNIWARD (JPEG-Universal Wavelet Relative Distortion) 隐写
- ❑ 也可以直接在JPEG域进行失真函数的设计，设计的原则是，尽量选择对JPEG系数分布特性扰动小的位置进行嵌入，典型的是UED (Uniform Embedding Distortion) 隐写



3.1-1 J-UNIWARD (失真函数)



❑ J-UNIWARD是一种JPEG域自适应隐写。由于隐写的输入与输出都是JPEG文件，因此，以上的载体图像 X 与含密图像 Y 均在JPEG域。设 $J^{-1}(X)$ 与 $J^{-1}(Y)$ 表示JPEG解码到空间域的操作，则J-UNIWARD的总失真函数定义为：

$$D'(X, Y) = D(J^{-1}(X), J^{-1}(Y))$$

❑ 其中， D 是S-UNIWARD的总失真函数，待定系数 $\sigma > 0$ 在实验中取为 2^{-6}

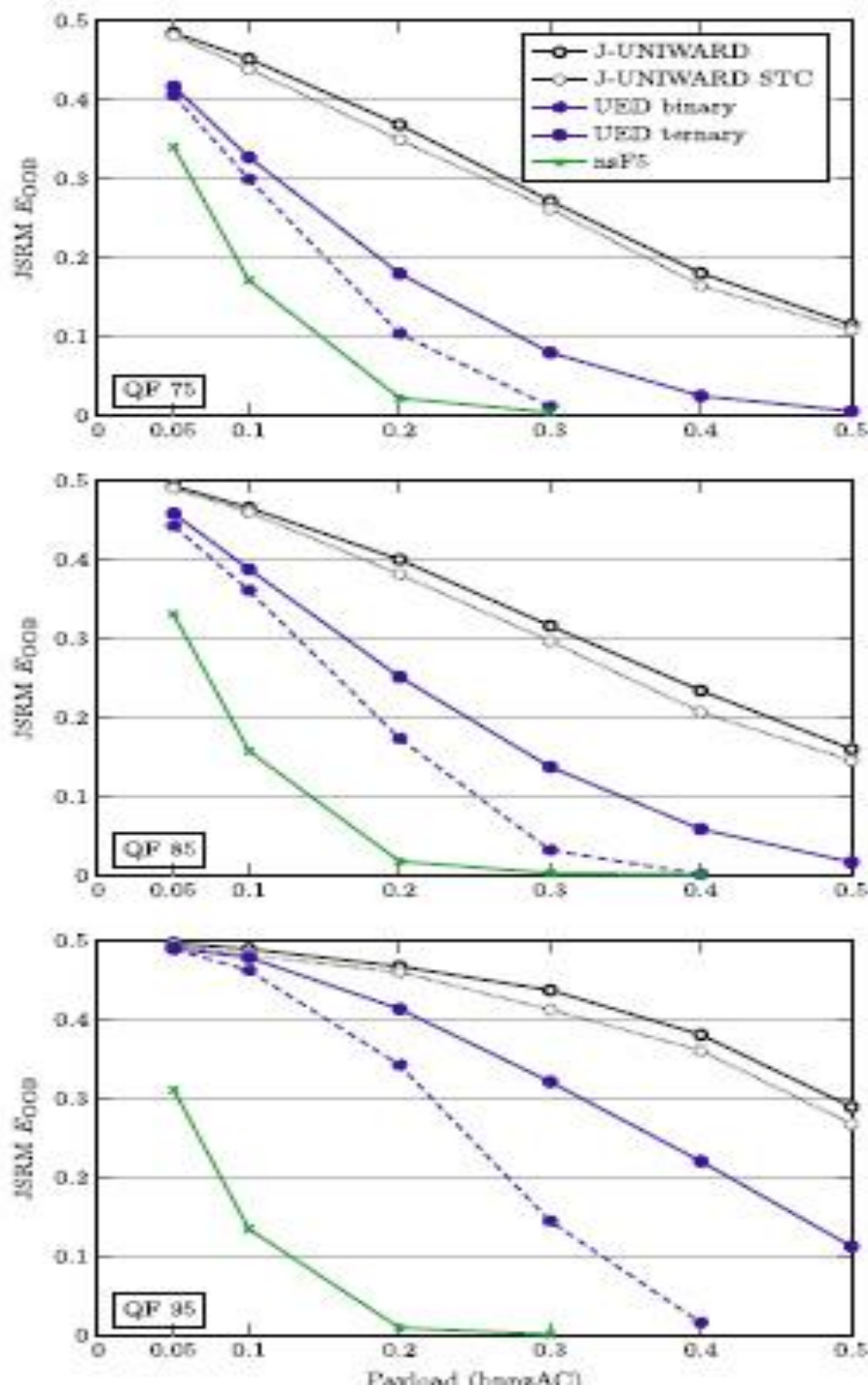
❑ 这样，单点失真函数为 $\rho_{i,j} = D'(X, X_{\sim(i,j)} Y_{i,j})$ ；这里， i, j 为JPEG量化DCT系数的坐标



3. 1-2 J-UNIWARD安全

在JSRM通用隐写分析下（图），J-UNIWARD比UED的抗检能力更强，安全性显著超出非自适应的JPEG隐写nsF5。

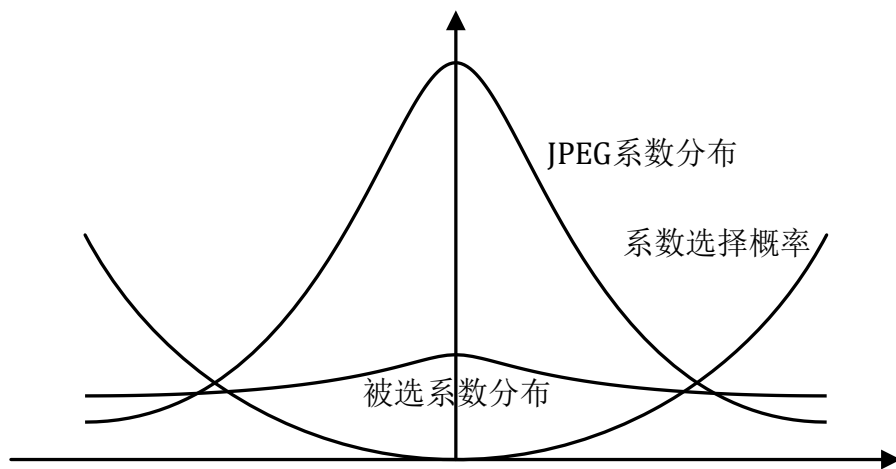
分别在质量因子QF为75、85与95三组样本下测试



3.2-1 UED (设计思想)



- ❑ UED是一种JPEG域的自适应隐写。UED的设计者观察到，若任意选择嵌入位置，由于小值JPEG系数的数量较多，则被选择到的可能性更大，这样，小值系数上的分布会变化更剧烈，更可能造成系数分布的形变
- ❑ 而如果每个值上的变化接近，则更可能保持JPEG系数的分布。因此，UED的设计目标是，压制在更多出现的小值系数上修改，优先选择更少出现的大值系数修改（图）



UED的修改系数选择原则：优先选择大值系数修改。图中，a是JPEG量化系数分布，b是希望的选择概率，c是所选择系数的分布（更均匀）



3.2-2 UED (失真函数)



- 设 c_{ij} 表示位置 (i, j) 上的JPEG量化系数, 定义 $N_{ia} = \{c_{i+1,j}, c_{i-1,j}, c_{i,j+1}, c_{i,j-1}\}$ 是它的块内邻域, $N_{ir} = \{c_{i+8,j}, c_{i-8,j}, c_{i,j+8}, c_{i,j-8}\}$ 是它的块间邻域, 则单点失真函数为:

$$\rho_{i,j} = \sum_{d_{ia} \in N_{ia}} (|c_{ij}| + |d_{ia}| + \alpha_{ia})^{-1} + \sum_{d_{ir} \in N_{ir}} (|c_{ij}| + |d_{ir}| + \alpha_{ir})^{-1}$$

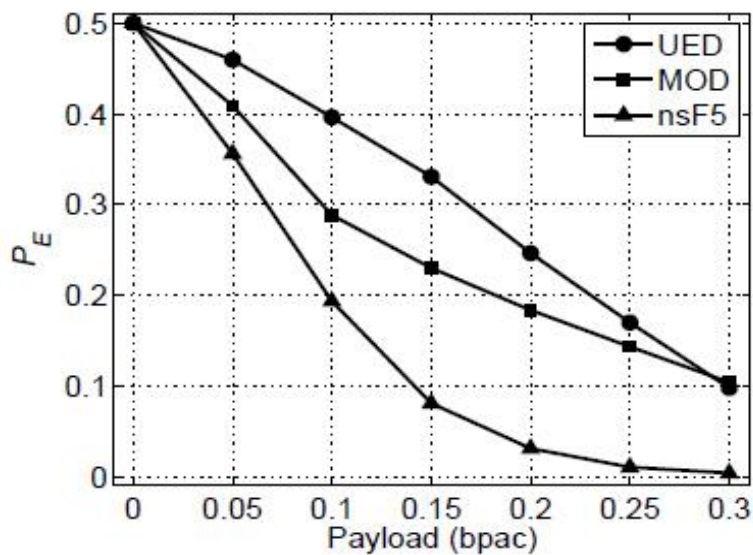
- 以上 α_{ia} 与 α_{ir} 为待定常数, 有实验结果分别确定为1.3与1; c_{ij} 为系数值; 以上失真函数压制了在小值区的取值



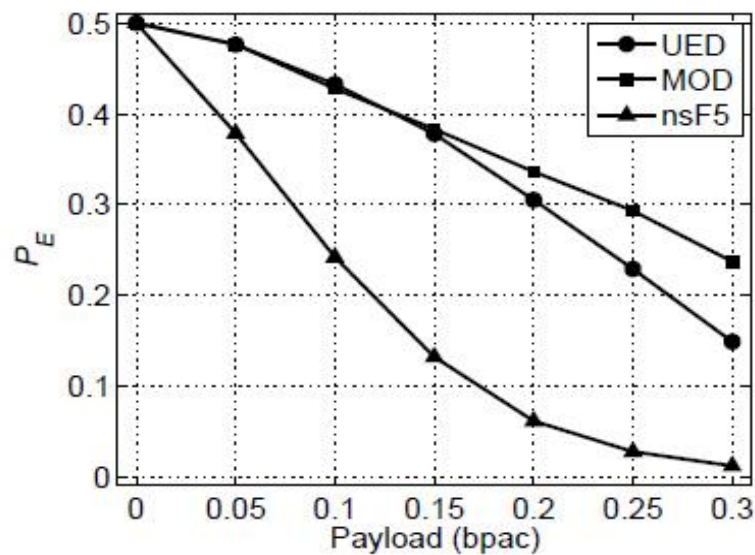
3.2-3 UED (安全性比较)



- 基于以上失真函数，UED采用STC优化嵌入，不使用系数为0的样点，当需要修改且 c_{ij} 绝对值大于1时，采用随机 ± 1 的方式；当需要修改且 c_{ij} 绝对值为1时，将其改为 $c_{ij} + \text{sgn}(c_{ij})$ ，即+1改为2，-1改为-2
- 用CC-JRM与CC-PEV特征进行相应的隐写分析，结果显示，UED显著优于非自适应的方法（图），但是，前面已经说明，在主要攻击下它的安全性低于J-UNIWARD（不过UED速度显著更快）



(a)



(b)

用CC-JRM (左) 与CC-PEV (右) 特征对UED进行相应的隐写分析的比较结果



4 文献阅读推荐



- [1] 教材第12章
- [2] T. Pevny, T. Filler, P. Bas. Using high-dimensional image models to perform highly undetectable steganography. In Proc. IH 2010, LNCS 6387, pp. 161–177, Springer, 2010.
- [3] V. Holub, J. Fridrich. Designing steganography distortion using directional filters. In Proc. WIFS 2012, Tenerife, Spain, December 2-5, pp. 234-239, 2012.
- [4] V. Holub, J. Fridrich, and T. Denemark. Universal distortion function for steganography in an arbitrary domain. EURASIP Journal on Information Security 2014, 2014: 1
- [5] L. Guo, J. Ni, Y. Q. Shi. An efficient JPEG steganographic scheme using uniform embedding. In Proc. WIFS 2012, Tenerife, Spain, December 2-5, pp. 169-174, 2012.



谢谢!



中国科学院信息工程研究所
INSTITUTE OF INFORMATION ENGINEERING CAS



SKLOIS
信息安全国家重点实验室